

BAZI DONDURMA KARIŞIMLARININ İSİL İLETKENLİKLERİNİN SICAKLIKLA DEĞİŞİMİNİN BELİRLENMESİ

DETERMINATION OF THE THERMAL CONDUCTIVITY OF SOME ICE CREAM MIXES AS A FUNCTION OF TEMPERATURE

Seher KUMCUOĞLU¹, Şebnem TAVMAN¹, Alpaslan TURGUT², BİB ERGIN³

¹Ege Üniversitesi, Mühendislik Fakültesi, Gıda Mühendisliği Bölümü, İzmir

²Dokuz Eylül Üniversitesi, Mühendislik Fakültesi, Makina Mühendisliği Bölümü, İzmir

³Unilever San. ve Tic. Türk A.Ş., Terkidağ

ÖZET: Bu çalışmada geleneksel ürünlerimizden olan ve modern bir işletmede sürekli sisteme üretilen Maraş usulü ve kaymaklı dondurma karışımının -30°C ile $+30^{\circ}\text{C}$ sıcaklık aralığındaki isıl iletkenlik değerleri çizgisel ısı kaynaklı prob yöntemi kullanılarak deneyel olarak belirlenmiştir. Kalibrasyon materyali olarak % 0.3 agar içeren saf su kullanılmıştır. Optimum ölçüm koşulları; değişik elektriksel akım, işlem süreleri ve örnek boyutları kullanılarak tespit edilmiştir. Örneklerin donmuş durumlarındaki isıl iletkenlik değerlerinin donmamış durumlarına ait isıl iletkenlik değerlerinden daha yüksek olduğu belirlenmiştir. Maraş usulü dondurma karışımının isıl iletkenliği 25°C 'de 0.494 W/m.K, -30°C 'de 1.051 W/m.K; kaymaklı dondurma karışımının isıl iletkenliği ise 25°C 'de 0.452 W/m.K, -30°C 'de 0.993 W/m.K olarak ölçülmüştür. Örneklerin isıl iletkenlik değerlerinin bileşim ve sıcaklığı değişim gösterdiği saptanmıştır.

Anahtar kelimeler: Isıl özellikler, isıl iletkenlik, dondurma, prob metodu

ABSTRACT: In this study, thermal conductivity of Maras ice cream and standard ice cream mixes produced in continuous system in a modern ice cream plant were measured at temperatures ranging from -30°C to 30°C using the transient hot-wire probe method. The system was calibrated by using a gel made with pure water and 0.3% agar. The effects of various experimental conditions were also considered, to optimize the line heat source technique used for the measurements. The results have shown that the thermal conductivity values of frozen samples were greater than the ones found for unfrozen samples. Thermal conductivity values are obtained at 25°C 0.494 W/m.K, at -30°C 1.051 W/m.K for Maras ice cream mix and at 25°C 0.452 W/m.K, at -30°C 0.993 W/m.K for standart ice cream mix. It was determined statistically that thermal conductivity values depend on composition and temperature of the mixes .

Keywords: Thermal properties, thermal conductivity, freezing, prob method

GİRİŞ

Dondurma; süt ve/veya uygun diğer süt ürünler, içilebilir nitelikteki su, yumurta, sakkaroz ile çeşitli maddeleri ve katkı maddelerinin belirli oranda karıştırılması ve pastörize edilmesinden sonra tekniğine uygun olarak hazırlanan bir süt ürünüdür (Anonim 1984). Diğer dondurma çeşitlerine göre daha kıvamlı yapıya sahip olan Maraş usulü dondurma Türkiye'nin güneydoğu bölgесine özgü geleneksel bir dondurma çeşididir.

Dondurulma işleminin mühendislik açısından önemi büyüktür. Dondurucu sistemlerinin ve uygulanan işlemelerin tasarıımı, donma süresinin hesaplanması ancak gıdalara ait doğru isıl özellik verileriyle yapılabilir. Doğru verilerle dizayn edilen dondurulma işlemiyle üründe meydana gelecek kalite kayıpları önlendir, ayrıca gıda maddesine fazla veya eksik ısı uygulaması da önlenecek önemli bir enerji tasarrufu sağlanmış olur. Donma işleminde en önemli isıl özellikler; isıl iletkenlik, isıl difüzivite, özgül ısı, donma başlangıç noktası ve entalpidir (Heldman 1982).

Donma işlemi sırasında gıdanın içerdiği su giderek artan bir şekilde sıvı fazdan katı faza geçer. Gıdalarda bulunan suyun katı haldeki özellikleri sıvı suyun özelliklerinden farklı olduğu için; gıdaların donma noktasının üzerinde belirlenmiş olan ısıl özelliklerin donma noktasının altındaki sıcaklıklarda geçerli değildir. ısıl özelliklerdeki en çarpıcı değişimler donma noktasına yakın sıcaklıklarda gözlenir (Singh 1995, Delgado, Gallo, De Pianta ve Rubiolo 1997). ısıl iletkenlik, gıdaların ısıyı iletebilme yeteneğini ifade eder ve donma, kurutma, sterilizasyon gibi işlemlerin de kontrol parametresidir.

Donma noktasının üzerindeki sıcaklıklarda bir çok gıda maddesi için ısıl özellik değerleri literatürde mevcut olmasına rağmen, gıda maddelerinin çoğu için donmuş durumlarına ait ölçülmüş ısıl özellik verileri bulunmamaktadır. Ayrıca; günümüzde yeni bileşimlerle gıda pazarındaki dondurulmuş ürün çeşitlerinin artması, bu ürünlerin de ısıl özelliklerinin belirlenmesini zorunlu hale getirmiştir. Uygulanan ısıl işlemlerde, doğru sıcaklık ve sürenin belirlenebilmesi için bu verilere ihtiyaç duyulmaktadır. Donmuş gıdaların ısıl özelliklerinin doğru bilinmesi gereği bu konuda deneysel çalışmaların yapılması ve matematiksel modeller geliştirilmesi gereğini de beraberinde getirmiştir.

Bu çalışmada geleneksel ürünlerimizden Maraş usulü ve kaymaklı dondurma karışımlarının ısıl iletkenlik değerleri deneysel olarak belirlenmiş ve ısıl iletkenliğin sıcaklıkla değişimi incelenmiştir.

MATERİYAL ve YÖNTEM

Materyal

Bu çalışmada materyal olarak kullanılan Maraş usulü ve kaymaklı dondurma karışımı ticari olarak üretim yapan bir işletmeden pastörizasyon öncesi aşamada temin edilmiştir. Dondurma karışımı; su, şeker, glikoz şurubu, peyniraltı suyu tozu, yağsız süt tozu, kıvam arttırıcılar, emülgatör, salep ve doğala özdeş aroma (vanilya) içermektedir. Örneklerin üretici firma tarafından belirlenen kimyasal bileşimleri Çizelge 1.'de verilmiştir.

Çizelge 1. Dondurma karışımının kimyasal bileşimi (%)

Materyal	Su	Protein	Yağ	Karbonhidrat	Kül
Maraş usulü dondurma karışımı	66.0	2.6	3.3	26.7	1.4
Kaymaklı dondurma karışımı	63.3	3.4	9.8	23.4	0.1

Yöntem

Isıl iletkenlik Ölçüm Yönteminin Teorik Analizi

Bu çalışmada ısıl iletkenlik ölçümü için kullanılan prob yöntemi, hot wire yöntemi ile benzer teoriye dayanmaktadır. Çizgisel ısı kaynağı (probe veya ısıtıcı tel), ısıl iletkenliği ölçmek istenen, başlangıç sıcaklığı homojen ve sabit T_0 olan malzemenin içerişine yerleştirilir. Çizgisel ısıtıcı elemana (ısıtıcı tel), $t=0$ anından itibaren sabit güç sağlanır ve bu elemana yakın bir noktadaki ısıl çift ile kısa ısıtma süresince sıcaklık değişimi zamana bağlı olarak kaydedilir. Yöntem, silindirik koordinatlarda geçici rejimde ısı iletimi ilkesine dayanır ve denklem:

$$\frac{\partial^2 T}{\partial r^2} + \frac{1}{r} \frac{\partial T}{\partial r} = \frac{1}{\alpha} \frac{\partial T}{\partial t} \quad (1)$$

şeklindedir. Bu denkleme aşağıdaki başlangıç ve sınır şartları uygulandığında;

$$t = 0, r > 0 ; T = T_0 = 0 \quad (2)$$

$$t > 0, r \rightarrow \infty ; T = 0 \quad (3)$$

$$t > 0, r \rightarrow 0 ; -2\pi r k \frac{\partial T}{\partial r} = Q = \text{sabit} \quad (4)$$

elde edilir. Burada T sıcaklık, t zaman, r radyal uzaklık, a ıslı difüzivite, Q ısıtıcı telin birim uzunluğundan, birim zamanda sağlanan ısıdır. Isıtıcı telin yüzeyindeki ($r=r_0$) sıcaklık artışı, $t >> r^2/4\alpha$ olması durumunda aşağıdaki şekilde ifade edilir.

$$\Delta T(r_0, t) = \frac{Q}{4\pi k} \cdot \ln \left(\frac{4\alpha t}{r_0^2 \cdot C} \right) \quad (5)$$

$$C = e^{\gamma} = 1.781 \quad (\text{Euler sabiti})$$

İslı difüzivitenin, küçük sıcaklık aralıklarındaki ölçümelerde sabit olduğu dikkate alınırsa; ıslı iletkenlik, DT 'nin $\ln(t)$ ye göre değişiminden belirlenebilir:

$$k = \frac{Q}{4\pi} \cdot \frac{d(\ln t)}{d(\Delta T)} \quad (6)$$

Bu durumda çizgisel ısı kaynağındaki sabit güç ve DT 'nin, $\ln(t)$ ye göre değişim grafiğinin eğimi "S" kullanılarak ıslı iletkenlik aşağıdaki denklemden hesaplanabilir (Murakami, Sweat, Sastry, Kolbe, Hayakawa ve Datta 1995, Murakami, Sweat, Sastry ve Kolbe 1996).

$$k = \frac{Q}{4\pi} \cdot \frac{1}{S} \quad (7)$$

Örnek ve prob boyutlarının sonlu ölçülerde olması Denklem (5)'in geçerliliğine olumsuz bir etkendir. Pratikteki sistemin, teorik analize yakın sonuç verebilmesi için probun uzunluğunun, çapına oranın sonsuz büyük ve prob çapının sonsuz küçük kabul edilebilir bir değer olması gereklidir. Blackwell (1956) uzunluğun çapa oranının 30 veya daha büyük olması durumunda bu etkinin ihmali edilebilir olduğunu teorik olarak göstermiştir. Aynı şekilde örnek boyutu da sonlu büyülükte olmasına karşın, De Vries ve Peck (1958) tarafından ortaya konan minimum numune yarıçapı " R_s " aşağıdaki şartı sağladığında sürece bu etki de ihmali edilebilir seviyededir.

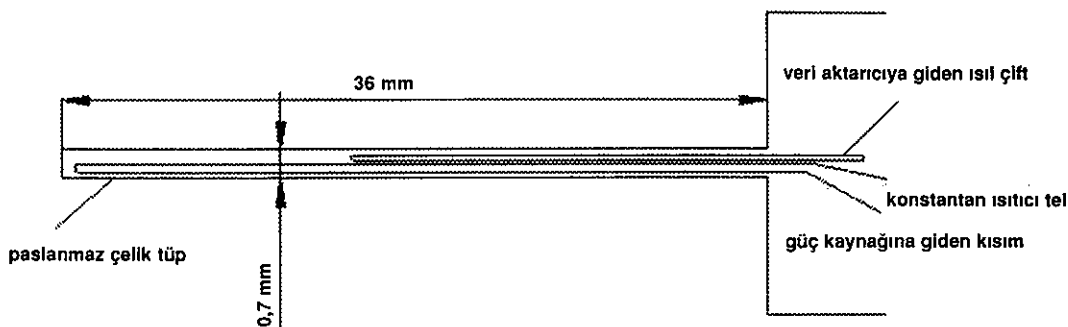
$$e = R_s^2 / 4\alpha \cdot l \ll 1 \quad (8)$$

İslı iletkenlik ölçüm cihazı

İslı iletkenlik ölçüm sistemi; örnek kabı, prob, 0-30 V ayarlanabilir doğru akım güç kaynağı, veri kaydedici ve aktarıcı ile bilgisayardan oluşmaktadır. Deneysel -30°C ile 30°C sıcaklık aralığında gerçekleştirilmiştir.

İslı iletkenlik ölçüm probu, paslanmaz çelikten imal edilmiş olup dış çapı 0.7 mm, uzunluğu ise 36 mm'dir. Probun uzunluğunun çapa oranı 51'dir ve bu değer sonlu boyutlara sahip prob etkilerinin ihmali edilebileceği bir değerdir. Probun ısıtıcı teli konstantan ve direnci 223 W/m olup doğru akım güç kaynağından beslenmektedir. Kromel konstantan tip ıslı çift prob içerisinde ısıtıcı telin yakınına yerleştirilmiş ve veri kaydediciye minyatür bir bağlayıcı ile bağlanmıştır. Probun içinde ısıtıcı tel ile ıslı çift dışında kalan bölge ısı iletimini artırmayı silikon bazlı sızdırmazlık elemanı ile doldurulmuştur. İslı iletkenlik ölçümlerinde kullanılan probun şematik gösterimi Şekil 1.'de gösterilmiştir.

Prob, kaptaki ıslı iletkenliği ölçülecek örnek içeresine yerleştirilir. Örnek ortam ile denge sıcaklığına ulaştıktan sonra güç kaynağından sabit akımda alınan enerji ısıtıcı tel aracılığı ile proba ulaşır. Bu ısı radyal olarak ölçümü yapılacak numuneye aktarılır. ıslı çift yardımı ile sıcaklık değişimi 0.5 saniye aralıklarla veri kaydediciye buradan da bilgisayara kaydedilir. Bu işlem yaklaşık 45 saniye sürmektedir. Sıcaklığın, doğal logaritmik zamana bağlı olarak değişim grafiği çizilir. Bu grafikte doğrusal kısmın eğimi "S" doğrusal regresyon ile hesapla-

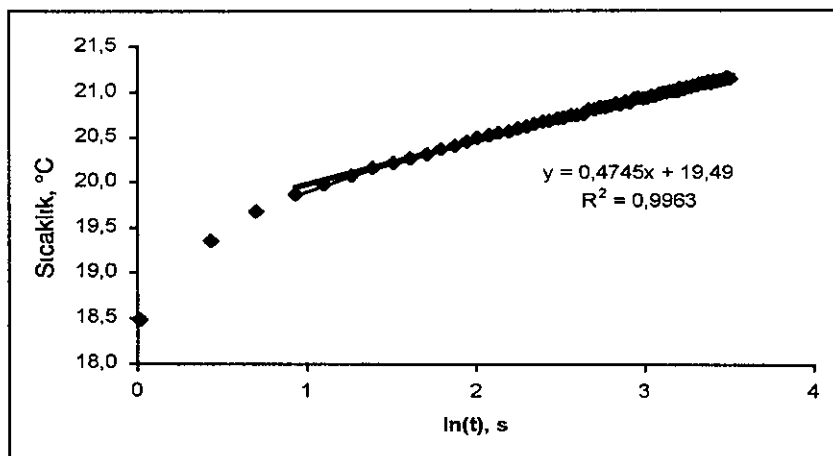


Şekil 1. Isıl iletkenlik ölçüm probunun şematik gösterimi

nır. Isıtıcı tele gelen güç, $Q=I^2 \cdot R$, formülünden hesaplanır. Burada R , ısıtıcı telin birim uzunluğuna karşılık dírencidir. "Q" ve "S" denklem (9) da kullanılarak isıl iletkenlik değeri hesaplanır.

SONUÇ ve TARTIŞMA

Isıl iletkenlik ölçüm probunun kalibrasyonunda referans materyal olarak %0.3 agar içeren saf su kullanılmıştır. Agar-saf su karışımının, kimyasal yapısı gereği viskoz bir jel kıvamında olduğu ve ısınma sırasında kap içerisindekiörnekte ısı taşınımını engellediği ve sadece iletim yoluyla ısı transferine izin verdiği saptanmıştır (Rizvi, Blaisdell, ve Harper 1980). Kalibrasyon materyali için elde edilen sıcaklığın, doğal logaritmik zamana bağlı olarak değişimi grafiği Şekil 2.'de gösterilmiştir.



Şekil 2. %0.3 agar içeren saf su için sıcaklık - zaman eğrisi

Yapılan ölçümlerde %0.3 agar içeren örneğin 20 °C'deki isıl iletkenlik değeri, eğrinin doğrusal kısmının eğimi (0.4745) ve uygulanan akım ($I=125$ mA) kullanılarak Denklem (7)'den 0.594 W/m.K olarak hesaplanmıştır. Saf suyun 20 °C'deki isıl iletkenliği Geankoplis (1983)' de 0.597 olarak verilmiştir.

Modern bir işletmede sürekli sisteme ticari olarak üretilen Maraş usulü ve kaymaklı dondurma karışımlarının isıl iletkenlik değerleri çizgisel ısı kaynaklı prob kullanılarak -30 °C ile +30°C sıcaklık aralığında deneyssel olarak belirlenmiştir. Ölçümler beş tekrarlı olarak yapılmış ve ortalama değer hesaplanmıştır. Dondurma karışımlarının değişik sıcaklıklarda ölçülen isıl iletkenlik değerlerleri Çizelge 2.' de verilmiştir.

Örneklerin donmuş durumlarındaki isıl iletkenlik değerlerinin donmamış durumlarına ait isıl iletkenlik değerlerinden daha yüksek olduğu belirlenmiştir. Ayrıca donmamış haldeki örneklerin isıl iletkenlik değerlerinin

Çizege 2. Örneklerin değişik sıcaklıklarda ölçülen ıslı iletkenlik değerleri.

Sıcaklık, °C	Maraş usulu dondurma karışımı		Kaymaklı dondurma karışımı	
	İslı iletkenlik (W/m.K)	Standart sapma	İslı iletkenlik (W/m.K)	Standart sapma
25	0.494	0.0113	0.452	0.0123
-15	1.012	0.0479	0.959	0.0173
-25	1.039	0.0233	0.972	0.0475
-30	1.051	0.0229	0.993	0.0270

sıcaklığın artmasıyla arttığı görülmüştür. Cogné, Andrieu, Laurent ve Nocquet (2003), dondurmanın ıslı iletkenlik değerinin sıcaklık ve gözeneklilikle değişimini incelemiş, gözenekliliği %0 olan örneğin daha yüksek ıslı iletkenlik değerine sahip olduğunu bulmuşlardır. Ölçümler çizgisel ısı kaynaklı prob metodu kullanılarak -40 °C ile 10 °C sıcaklık aralığında gerçekleştirilmiştir. Tüm örneklerin donmuş durumda ıslı iletkenlik değerlerinin donmamış durumda ıslı iletkenlik değerlerinden daha büyük olduğu tespit edilmiştir.

Kaymaklı dondurma karışımına göre daha düşük yağı ve daha yüksek su içeren Maraş usulu dondurma karışımının ıslı iletkenlik değerinin donmuş ve donmamış durumda kaymaklı dondurma karışımının ıslı iletkenlik değerinden daha yüksek olduğu tespit edilmiştir. Yağ, ıslı iletkenliği suya göre daha düşük olan bir bileşendir. Örneklerin kimyasal bileşimlerindeki farklılıkların ıslı iletkenlik değerlerini etkilediği görülmüştür.

Sastray ve Datta (1984) tarafından yapılan çalışmada %59.05 su içeren vanilyalı dondurmanın ıslı iletkenliğinin sıcaklık ve yiğin yoğunluğuyla değişimi incelenmiştir. 634, 683 ve 780 kg/m³ yiğin yoğunluklarına getirilen örneklerin ıslı iletkenlik değerleri prob metodu kullanılarak -38, -22 ve -12 °C sıcaklık değerlerinde ölçülmüştür. Dondurmanın ıslı iletkenliğinin sıcaklık ve yiğin yoğunluğunun artmasıyla arttığı saptanmıştır. %59.05 su ve %13 yağ içeren 780 kg/m³ yoğunluğa sahip vanilyalı dondurma karışımının -22 °C'deki ıslı iletkenlik değeri 0.580 W/m.K olarak verilmiştir. Bu çalışmada ise %66 su, %3.3 yağ içeren 1088.5 kg/m³ yoğunluğa sahip Maraş usulu dondurma karışımının -25 °C'deki ıslı iletkenlik değeri 1.039 W/m.K olarak ölçülmüştür.

Sonuç olarak Örneklerin ıslı iletkenlik değerlerinin bileşim ve sıcaklıkla değişim gösterdiği saptanmıştır.

TEŞEKKÜR

Örneklerin temin edilmesinde desteklerini esirgemeyen Unilever San ve Tic. Türk A.Ş.'e teşekkür ederiz.

Semboller

- C Euler sabiti
- I Elektrik Akımı, A
- k ıslı iletkenlik, W/mK
- Q Birim zamanda, birim uzunluktan yayılan ısı, W/m
- R_λ Isıtıcı telin birim uzunluktaki direnci, Ω/m
- R_s Siliindirik numunenin yarıçapı, m
- r Radyal siliindirik mesafe, m
- S Sıcaklık, ln(zaman) eğrisinin eğimi
- T Sıcaklık, °C
- T₀ Başlangıç sıcaklığı, °C
- t Zaman, s
- α ıslı difüzivite, m²/s

KAYNAKLAR

- Anonim 1984. TS 4265 Dondurma. TSE, Ankara.
- Blackwell JH. 1956. The axial-flow error in the thermal conductivity probe. Can. J. of Phys. 34: 412-417.
- Cogné C Andrieu J Laurent P Besson A and Nocquet J. 2003. Experimental data and modelling of thermal properties of ice creams. Journal of Food Engineering, 58: 331-341.
- De Vries DA and Peck AJ. 1958. On the cylindrical probe method of measuring thermal conductivity with special reference to soil 1: Extension of theory and discussion of probe characteristics. Australian Journal of Physics, 11: 255-271.
- Delgado AE, Gallo A, De Piante D and Rubiolo, A. 1997. Thermal conductivity of unfrozen and frozen strawberry and spinach. Journal of Food Engineering, 31:137-146.
- Geankolis CJ. 1983. *Transport Processes and Unit Operations*. Prentice-Hall International Inc., 921 s. New Jersey.
- Heldman DR. 1982. Food properties during freezing. Food Technol., 36, 92-96.
- Murakami EG, Sweat VE, Sastry SK, Kolbe E, Hayakawa K and Datta A. 1995. Recommended design parameters for thermal conductivity probes for nonfrozen food materials. Journal of Food Eng. 27: 109-123.
- Murakami EG, Sweat VE, Sastry SK and Kolbe E. 1996. Analysis of various design and operating parameters of the thermal conductivity probe. Journal of Food Engineering, 30:209-225.
- Rizvi SSH, Blaisdell JL and Harper WJ. 1980. Thermal diffusivity of model analog systems. Journal of Food Science, 45:1727-1731.
- Sastry SK and Datta AK. 1984. Thermal properties of frozen peas, clams and ice cream. Can. Inst. Food Sci. Technol. J., 17(4): 242-246.
- Singh RP. 1995. Thermal properties of frozen foods. In *Engineering Properties of Foods*, MR Rao and SSH Rizvi (eds), pp.139-166, Marcel Decker Inc., New York.